

## I-8 平面骨組の大変形解析に関する二、三の考察

徳島大学工学部 正会員 岐嶋弘行

平尾 淳

学生員 里見恒利

1. まえがき 一般に、骨組の大変形解析では、1) 部材力と部材変形との関係を示す変形条件 2) 部材変形と節点変位との関係を示す広義の適合条件 3) 部材力と外力との関係を示す釣合条件のうち、2), 3) の関係を非線形とみなし解析される。このような大変形理論に基づいた研究例として、文献(1), (2)および(3)などがあるが文献(1)では変位関数を仮定して、歪エネルギーを変位で2回偏微分することにより接線剛性行列が誘導され、文献(2), (3)では変形後の座標系に対する材端力と材端変位の非線形基本式を誘導し、これを直接、材端変位で1回偏微分することにより、接線剛性行列を求めている。しかしながら、これらの解析に用いられる接線剛性行列は、解析上の仮定および基本式の誘導方法によりかなり差異があり、文献(1)では大変形理論に基づきながら、変位関数を微小変形理論の場合と同じ関数で仮定していることとか、材端力を求める剛性行列の釣合が保たれていないことに問題があるように思われ、また、文献(2)では、部材の湾曲に伴なう軸方向変位の影響が無視されいるために、接線剛性行列が非対称となっていることなどに問題があるようと思われるが、実際の解析結果にこれらの問題点がどのように影響するかどうかを比較検討した研究例はほとんどみあたらない。

そこで、本研究ではこれらの文献による弾性解析について研究し、さらにこれらを弾塑性解析にまで拡張してその解析プログラムを作成し、2), 3) の解析例を紹介して、これらの解析方法による計算結果の相異などについて弾性解析と弾塑性解析の両面から比較検討を行なってみたものである。以下、本文では、文献(1)による方法を歪エネルギー法、文献(2)による方法をTescan法、文献(3)による方法をOran法と呼ぶことにする。

2. 歪エネルギー法 文献(1)では、1. で述べたような問題があるため、本研究ではこの方法については若干の修正を行なった。以下に、文献(1)と本研究で修正した歪エネルギー法の基本式の誘導方法を簡単に説明する。

図-1 に示すように座標系をとれば、軸変形  $\varepsilon_x$  および曲率  $\rho$  は高次の微小項を省略して、

$$\varepsilon_x = \frac{du}{dx} + \frac{1}{2} \left( \frac{dv}{dx} \right)^2, \quad \rho = -\frac{d^2 v}{dx^2} \quad (1)$$

と表められ、部材の歪エネルギー  $U$  は次のようにある。

$$U = \int \frac{1}{2} E \varepsilon^2 dx \\ = \int_0^l \left\{ \left( \frac{du}{dx} \right)^2 + \left( \frac{dv}{dx} \right)^2 + \frac{1}{4} \left( \frac{d^2 v}{dx^2} \right)^2 + \frac{F}{A} \left( \frac{d^2 u}{dx^2} \right)^2 \right\} dx \quad (2)$$

また、歪エネルギーを変形量  $u, v$  の要素  $u_i, v_i$  で微分すれば、材端力  $S_i$  が求まり、さらに  $u, v$  を微分すれば剛性行列の要素  $K_{ij}$  が求まる。

$$S_i = \frac{\partial U}{\partial u_i}, \quad K_{ij} = \frac{\partial^2 U}{\partial u_i \partial u_j} \quad (3)$$

ここで、部材の変位  $u, v$  を(4)のように仮定し、境界条件を用いて係数  $a_0 \sim a_3$  を決定すれば、歪エネルギー  $U$  は材端変位  $u, v$  の関数として表められる。

$$u = a_0 + a_1 x \quad (4)$$

$$v = b_0 + b_1 x + b_2 x^2 + b_3 x^3$$

境界条件は、文献(1)の方法では、 $x=0$  で  $u=u_i$ ,  $v=v_i$ ,  $\frac{du}{dx}=0$ ,  $x=l$  で  $u=u_f$ ,  $v=v_f$ ,  $\frac{dv}{dx}=0$ ; また、本研究の修正歪エネルギー法では、 $x=0$  で  $u=u_i$ ,  $v=0$ ,  $\frac{du}{dx}=0$ ,  $x=l$  で  $u=u_f$ ,  $v=0$ ,  $\frac{dv}{dx}=0$  を用いる。

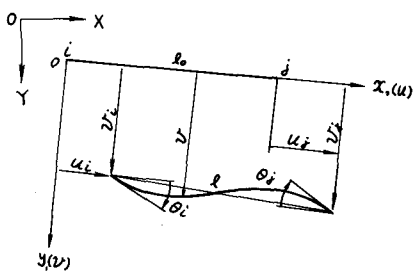


図-1

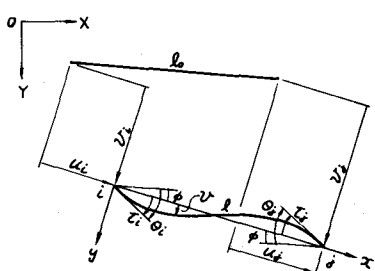


図-2

3. Oran法の基本式　図-3のように材端力と変形量の正方向を定めると、軸力は式(5)、せん断力と材端モーメントは材端条件に応じて、それぞれ式(6)で表わされる。

$$\begin{aligned} N_{ij} &= \frac{EA}{l_0} (\delta - l C_b) & (5) \\ \text{i)両端剛節} \quad Q_{ij} &= \frac{6EI}{l_0^2} \phi_i (Z_i + Z_j) & M_{ij} = \frac{4EI}{l_0} \phi_i Z_i + \frac{2EI}{l_0} \phi_i Z_j \\ \text{ii) i剛j滑} \quad Q_{ij} &= \frac{3EI}{l_0} \phi_i Z_i & M_{ij} = \frac{3EI}{l_0} \phi_i Z_i \\ \text{iii) i滑j剛} \quad Q_{ij} &= \frac{3EI}{l_0} \phi_i Z_j & M_{ij} = 0 \\ \text{iv) i剛j降} \quad Q_{ij} &= \frac{3EI}{l_0} \phi_i Z_i + \frac{3M_{pi}}{l_0} \phi_i & M_{ij} = \frac{3EI}{l_0} \phi_i Z_i + \frac{M_{pi}}{l_0} \phi_i \\ \text{v) i降j剛} \quad Q_{ij} &= \frac{3EI}{l_0} \phi_i Z_j + \frac{3M_{pi}}{l_0} \phi_i & M_{ij} = M_{pi} \\ \text{vi) i降j滑} \quad Q_{ij} &= \frac{M_{pi}}{l_0}, \quad M_{ij} = M_{pi} & \text{vii) i滑j降} \quad Q_{ij} = \frac{M_{pi}}{l_0}, \quad M_{ij} = 0 \\ \text{viii)両端降伏} \quad Q_{ij} &= (M_{pi} + M_{ri})/l_0, \quad M_{ij} = M_{pi} & \end{aligned} \quad (6)$$

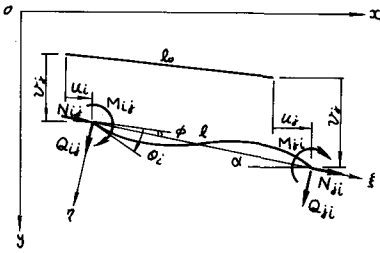


図-3

ただし、上式で  $Z_i = \theta_i - \phi$ ,  $Z_j = \theta_j - \phi$ ,  $\phi = (\delta_{ij} - \delta_{ij})/l_0$  —— (7)

また、 $M_{pi}$ ,  $M_{ri}$ は材端しょにおける全塑性モーメントであり、 $\phi$ へもは軸力による曲げの影響を考慮した安定関数、 $C_b$ は部材の湾曲に伴う軸方向変位の影響を考慮した補正項を表す。

つぎに、部材座標系における材端力ベクトルと材端変形量ベクトルを  $S$ ,  $V$  とし、一般座標系に対する材端力ベクトルと材端変位ベクトルを  $P$ ,  $U$  とすれば、 $P$  と  $S$  および  $U$ ,  $V$  の微小増分  $dP$  と  $dV$  の間にはそれぞれ式(8)のような関係がある。

$$P = [B] S, \quad dV = [B]^t dU \quad (8)$$

ただし、 $P = \{P_{xj}, P_{yj}, M_{ij}, P_{zj}, P_{yz}, M_{iz}\}^t$ 。  
 $U = \{u_i, v_i, \theta_i, u_j, v_j, \theta_j\}^t$   
 $S = \{N_{ij}, M_{ij}, M_{zi}\}^t, V = \{S, Z_i, Z_j\}^t$

$$[B] = \begin{bmatrix} m & n & 0 & -m & -n & 0 \\ -n/l & m/l & 1 & n/l & -m/l & 0 \\ -n/l & m/l & 0 & n/l & -m/l & 1 \end{bmatrix} \quad (10)$$
 $m = \cos\alpha, \quad n = \sin\alpha$

ところで、微小荷重増分に対する材端力増分  $dP$  は  $dP = [B] dS + [4B] S$  と表わされる。そこで、材端力  $S$  を材端変形量  $V$  で偏微分すれば

$$dS = [t] \{dV\}, \quad [t] = \frac{\partial S}{\partial V} \quad (11)$$

また、 $[4B]$  は次まで与えられる。

$$[4B] = \begin{bmatrix} -m & -n & 0 & -m & -n & 0 \\ (-m+n\delta)/l & (m-n\delta)/l & 0 & (m-n\delta)/l & (-m+n\delta)/l & 0 \\ (-m+n\delta)/l & (m-n\delta)/l & 0 & (m-n\delta)/l & (-m+n\delta)/l & 0 \end{bmatrix}^t$$

$$4m = \frac{mn}{l}(dV_i - dV_j) - \frac{n^2}{l}(dU_i + dU_j) \\ 4n = \frac{ml}{l}(-dU_i + dU_j) + \frac{m^2}{l}(dV_i - dV_j) \\ 4\delta = \frac{m}{l}(-dU_i + dU_j) + \frac{n}{l}(-dV_i + dV_j)$$

4. Tescan法の基本式　Tescan法の基本式は3.1に示すOran法とほぼ同様であるが、軸力の式は式(5)で  $C_b = 1$ 、せん断力および材端モーメントは式(6)で  $l_0 = l$  としたものに一致し、また、式(7)は  $\phi = \sin^{-1}(\delta_{ij} - \delta_{ij})/l_0$  とする。

つぎに、接線剛性行列  $K_{Tij}$  は、材端力  $P$  を変形量  $U$  で直接、偏微分することにより説明する。

$$K_{Tij} = \frac{\partial P_{ij}}{\partial U_{ij}}, \quad K_{Tij} = \frac{\partial P_{ij}}{\partial U_{ij}} \quad (12)$$

$$dP_{ij} = \{K_{Tij}\}_{ij} \cdot dU_{ij} + \{K_{Tij}\}_{ij} \cdot dU_{ij}$$

5. 計算例　簡単なラーメン構造物、乙型フレームアーチおよびローゼ橋に対する解析結果を、通常の静的な解析法と文献4)の割線剛性法による解析結果との比較をかねて、講演当日スライドなどで紹介する予定である。

### 参考文献

- 1) 大地羊三「構造解析とコンピュータ」、コンピュータサイエンスシリーズ、産業図書
- 2) S. Tescan "Numerical Solution of Nonlinear Structures", Proc. ASCE, Vol 94, ST6, 1968
- 3) C. Oran "Tangent Stiffness in Plane Frames", Proc. ASCE, Vol 99, ST6, 1973
- 4) 水嶋弘行、平尾素「平面剛滑節構造物の一自動極限解析」、土木学会論文報告集、No. 218号、1973年、10月